

В. И. ПОЛЕЖАЕВ, М. П. ВЛАСЮК

О ЯЧЕЙКОВОЙ КОНВЕКЦИИ В БЕСКОНЕЧНО ДЛИННОМ ГОРИЗОНТАЛЬНОМ СЛОЕ ГАЗА, ПОДОГРЕВАЕМОМ СНИЗУ

(Представлено академиком Г. И. Петровым 19 V 1970)

1. Рассматривается течение и перенос тепла в бесконечно длинном горизонтальном слое газа высотой H , ограниченного твердыми поверхностями, в поле внешней массовой силы, создающей ускорение g (рис. 1). На нижней поверхности при $y = 0$ поддерживается постоянной температура T_2 , на верхней — температура T_1 , причем $T_2 > T_1$. Таким образом, газ нагревается снизу и его гидростатическое равновесие в поле внешней силы

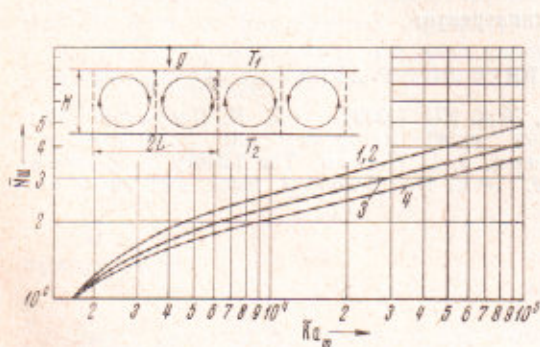


Рис. 1. Средняя теплопередача через слой в зависимости от числа Рэлея, определенного с поправкой на величину адиабатического градиента температуры. 1 — $x = 1,4$; $K = 0,04$; 2 — $x = 1,0$; $K = 0$; 3 — $x = 1,4$; $K = 0,2$; 4 — $x = 1,66$; $K = 0,33$

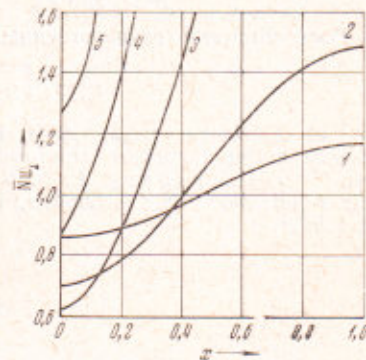


Рис. 2. Распределение местного числа Нуссельта на нижней стенке. 1 — $\tilde{Ra}_m = 1775$; 2 — $\tilde{Ra}_m = 1880$; 3 — $\tilde{Ra}_m = 3135$; 4 — $\tilde{Ra}_m = 10450$; 5 — $\tilde{Ra}_m = 52250$

может быть неустойчивым. Условия устойчивости газа, подогреваемого снизу, могут быть получены исходя из линеаризованных уравнений гидродинамики и переноса тепла. Возникновение конвекции в жидкостях определяется числом Рэлея и происходит при $Ra > Ra_{kp}$. В предположении периодичности возмущений, выводящих систему из состояния равновесия при линейном начальном профиле температуры, критическое число Рэлея Ra_{kp} для слоя, ограниченного твердыми поверхностями, вычислено, исходя из линеаризованных уравнений Буссинеска, в работе (1) и равно 1708. Этому значению критического числа Рэлея соответствует в плоском случае длина волны возмущения $\lambda = L/H = 1,008$. Расчеты двумерной периодической ячейковой конвекции за порогом устойчивости при $L/H = 1$, исходя из нелинейных уравнений в приближении Буссинеска, выполнены в работах (2, 3, 15).

Вопрос о возникновении конвекции и об особенностях теплопередачи в газах за порогом устойчивости связан с анализом уравнений сжимаемого газа и значительно менее изучен. Необходимое условие возникновения конвекции в предположении адиабатического смещения частицы из состояния равновесия в пренебрежении вязкостью и теплопроводностью может быть получено из простых термодинамических соображений без

привлечения уравнений движения ⁽⁴⁾ и имеет вид $K < 1$, где K — отношение адиабатического градиента температуры к действительному градиенту.

Джеффрисом ⁽⁵⁾ несколько расширена область применения уравнений Буссинеска за счет учета в уравнении переноса тепла работы сил сжатия. Условие возникновения конвекции в этом случае имеет вид $\tilde{Ra} > \tilde{Ra}_{kp}$, где

$$\tilde{Ra} = \frac{g\beta H^4}{\nu a} \left[\left(\frac{dT}{dy} \right) - \left(\frac{dT}{dy} \right)_{ad} \right] = Ra(1 - K).$$

Однако условия применимости этого приближения, в особенности для развитого движения за порогом устойчивости, мало изучены. В общем случае сжимаемого и вязкого газа возникновение конвекции определяется более сложным условием $Ra(K)$. Для случая конвекции в ячейке, ограниченной твердыми поверхностями при $L/H = 1$ зависимость $Ra(K)$ найдена в работе ⁽⁶⁾ путем численного решения полных уравнений Навье — Стокса сжимаемого газа.

2. Предполагая коэффициенты вязкости μ и теплопроводности k постоянными, запишем исходные уравнения в виде (обозначения общепринятые)

$$\rho(\partial V/\partial t + V\nabla V) = -\nabla P + \rho\bar{g} + \mu\nabla^2V + \frac{1}{3}\mu\nabla(\nabla V), \quad (1)$$

$$\partial\rho/\partial t + \nabla(\rho V) = 0, \quad (2)$$

$$\rho C_v(\partial T/\partial t + V\nabla T) + P\nabla V = k\nabla^2T + \mu\Phi, \quad (3)$$

$$P = \rho RT. \quad (4)$$

Здесь Φ — диссипативная функция.

Будем считать поля течения, температуры и плотности двумерными, периодическими в направлении, нормальному к направлению силы g ; рассмотрим ячейку шириной L , равной половине периода, с граничными условиями симметрии на боковых поверхностях, условиями прилипания и заданными постоянными температурами на твердых поверхностях $y = 0, H$.

Нетрудно найти систему критериев подобия, определяющих течение и перенос тепла, которую запишем в виде ⁽⁶⁾

$$Ra, K, Pr, C_F, \kappa. \quad (5)$$

Здесь $Pr = \nu/a$ — критерий Прандтля, $\kappa = c_p/c_v$ — отношение теплоемкостей, $C_F = gH/\mu RT$ — критерий весовой сжимаемости, который определяет изменение плотности в зависимости от высоты H и величины ускорения силы тяжести g в соответствии с уравнением гидростатики и уравнением состояния газа. Критерий устойчивости K является комбинацией критериев κ , C_F и отношения температур T_2/T_1 , и может быть записан:

$$K = (\kappa - 1)C_F / (T_2/T_1 - 1). \quad (6)$$

Кроме того, в принятой постановке задачи параметром является также безразмерная длина волны конвективного движения L/H . Нас будут интересовать в дальнейшем стационарные решения задачи (1) — (4), которые будем получать путем установления при решении нестационарной задачи разностным методом ⁽⁷⁾. Возбуждение за порогом устойчивости конвективных движений, имеющих периодическую структуру, достигалось путем внесения в начальное поле неподвижного газа несимметричных возмущений для выделения стационарного решения с одним вихрем в ячейке $L/H = 1$. Дальнейшее исследование проводилось при изменении L/H и критериев подобия (5), исходя из этих начальных данных. В расчетах использовалась равномерная разностная сетка с числом узлов в расчетной области 21×21 и 31×31 . Отличие соответствующих средних чисел Нуссельта, вычисленных на этих сетках при $Ra \leq 10^5$, составляло не более 3%. Невязки в интегральных балансах тепла при $Ra < 5 \cdot 10^4$ на стацио-

нарном режиме не превосходили 1%. В расчетах были фиксированы числа $\text{Pr} = 1$ и $C_p = 0,05$ *.

3. Результаты расчета среднего числа Нуссельта $\bar{Nu} = q_u H/k(T_2 - T_1)$ в зависимости от числа $\tilde{\text{Ra}}_m = \text{Ra}_m(1 - K)$, т. е. с поправкой на величину адиабатического градиента, для стационарных движений за порогом устойчивости при $L/H = 1$ приведены на рис. 1. Значение Ra_m определялось по величинам, взятым в средней по высоте точке слоя. Кривые 1—4 соответствуют различным значениям κ и T_2/T_1 , и охватывают диапазон κ для одноатомных и трехатомных газов при сверхадиабатических градиентах температуры ($K = 0 \div 0,3$). Пересечение кривых с горизонтальной линией $\bar{Nu} = 1$ определяет критическое число Рэлея, которое в рассмотрен-

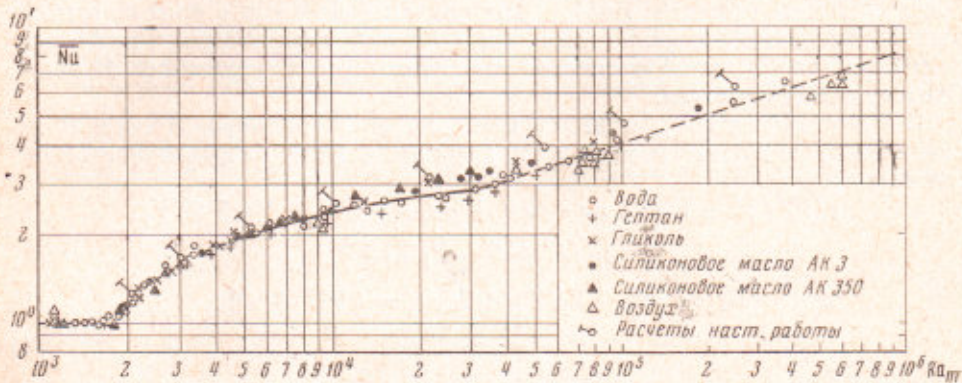


Рис. 3. Сопоставление результатов расчета средней теплопередачи через слой при $K = 0$ с опытными данными (*, **, ***)

ном диапазоне критериев подобия (5) изменяется в пределах $(\tilde{\text{Ra}}_m)_{kp} = 1620 \div 1750$. При $K = 0$ значение $(\tilde{\text{Ra}}_m)_{kp}$ равно 1750, что согласуется с результатами опытов как с газами (*), так и с жидкостями (**) в пределах разброса этих опытных данных (в этих опытах значение K было не более 10^{-2}), однако, несколько выше значения числа $\text{Ra}_{kp} = 1708$, которое получается исходя из уравнений Буссинеска. При удалении от порога устойчивости средняя теплопередача (рис. 1) уже не определяется только числом $\tilde{\text{Ra}}$, а зависит и от других критериев подобия, характеризующих газ; в частности, теплопередача уменьшается при увеличении $K(\kappa)$.

4. При малых $\text{Ra} - \text{Ra}_{kp}$ тепловой поток от нагретой стенки на ее начальном участке вдоль течения выше, а вниз по течению — ниже, чем в том случае, когда конвекция полностью отсутствует и число $Nu_L = 1$ (рис. 2). Превышение потока тепла от нагретой стенки по всей ее поверхности, над потоком тепла, когда конвекция отсутствует, в действительности происходит только достаточно далеко от порога устойчивости и в диапазоне чисел Ra , где течение уже, по-видимому, турбулентно. Эта «неполнота смешения» является, по-видимому, общим свойством конвективных течений жидкостей и газов в замкнутых областях, подогреваемых снизу и сбоку (**), при малых числах Ra (или $\text{Ra} - \text{Ra}_{kp}$).

5. Опытные данные для теплопередачи через газовые слои имеются лишь для случая, когда градиент температуры намного больше адиабатического градиента и весовая сжимаемость практически отсутствует, т. е. в том случае, когда модели газа и жидкости эквивалентны. Однако, удовлетворительное согласование опытных данных с вычисленными, исходя из валиковой модели при соответствующих числах Ra , позволяет предполагать справедливость такой модели и в случаях, специфических для газа, в соответствующем диапазоне $\tilde{\text{Ra}}$.

* Это значение C_p соответствует не слишком глубоким слоям, в которых относительное изменение плотности в зависимости от давления составляет не более 5%.

Валиковая структура, согласно опытам, наблюдается в слоях жидкости и газа, заключенных между твердыми цилиндрическими дисками из хорошо проводящего материала (11). Наиболее полные измерения средней теплопередачи в таких условиях выполнены Сильвестоном (2) * и Россби (12). В диапазоне $Ra_m \leq 5 \cdot 10^3$ результаты расчета хорошо согласуются с результатами измерений (9, 12, 14) и превышают их при дальнейшем увеличении числа Ra_m , причем относительная погрешность при числе $Ra_m = 10^5$ составляет около 15% (рис. 3). Это связано, по-видимому, с нарушением валиковой структуры течения вдали от порога устойчивости и переходом к турбулентному режиму течения. Аналогичный результат получен также в работах (2, 3) при сопоставлении результатов численных решений уравнений Буссинеска для ячейки $L/H = 1$ с данными Россби (12).

6. Диапазон применимости модели валиковой конвекции может быть несколько расширен, если учесть, что длина волны конвективных движений за порогом устойчивости изменяется. Применяемый метод анализа не позволяет ответить на вопрос, движения с какой длиной волны должны реализоваться, но дает возможность исследовать структуру течения и теплопередачу в ячейках в зависимости от длины волны. Эта зависимость для трех значений числа Рэлея за порогом устойчивости приведена на рис. 4. Пунктирными линиями отмечены значения числа \bar{N}_u , соответствующие опытным данным. Отсюда видно, что максимальное значение средней теплопередачи при удалении от порога устойчивости смещается в сторону конвективных движений с меньшей длиной волны. Однако большинство авторов (9, 12, 13) отмечают, что в опытах длина волны за порогом устойчивости увеличивается. На рис. 4 видно, что вычисленные значения среднего числа Нуссельта при этом согласуются с измеренными вплоть до числа $Ra_m \approx 10^4$. Более подробное исследование структуры ячейковой конвекции содержится в работе (16).

Институт прикладной математики
Академии наук СССР
Москва

Поступило
6 V 1970

ЦИТИРОВАННАЯ ЛИТЕРАТУРА

- ¹ A. Pellow, R. V. Southwell, Proc. Roy. Soc., Ser. A, 176, 312 (1940).
- ² P. Schneck, G. Veronis, Phys. Fluids, 10, № 5, 927 (1967). ³ W. H. Plows, Phys. Fluids, 11, № 8, 1593 (1968). ⁴ K. Schwartschild, Göttingen, Nachrichten, 11 (1906). ⁵ H. Jeffreys, Proc. Camb. Phil. Soc., 26, 170 (1930).
- ⁶ B. И. Полежаев, Изв. АН СССР, Мех. жидкости и газа, № 6, 97 (1968).
- ⁷ B. И. Полежаев, Там же, № 2, 103 (1967). ⁸ N. A. Thompson, H. H. Sogin, J. Fluid Mech., 24, Part 3, 451 (1966). ⁹ P. L. Silvester, Forsch. Ing.-Wes., 24, H. 1, 2 (1958). ¹⁰ B. И. Полежаев, Изв. АН СССР, Мех. жидкости и газа, № 4 (1970). ¹¹ E. L. Koschmieder, Beitr. Phys. Atmos., 39, 1 (1966). ¹² H. T. Rossby, J. Fluid Mech., 36, Part 2, 309 (1969). ¹³ E. L. Koschmieder, J. Fluid Mech., 35, Part 3, 527 (1969). ¹⁴ W. Mull, H. Reiher, Beih. Gesundh.-Ing. Reihe 1, H. 28 (1930). ¹⁵ Д. Л. Шварцблат, Изв. АН СССР, Мех. жидкости и газа, № 5, 84 (1969). ¹⁶ М. П. Власюк, В. И. Полежаев, Препринт № 37, Инст. прикл. матем. АН СССР (1970).

* В опытах Сильвестона по визуализации течения отмечалась более сложная трехмерная структура течения, что, как показано в (13), было связано с влиянием плохо проводящей верхней поверхности из оргстекла, в то время как измерения теплопередачи выполнены с металлической верхней поверхностью.

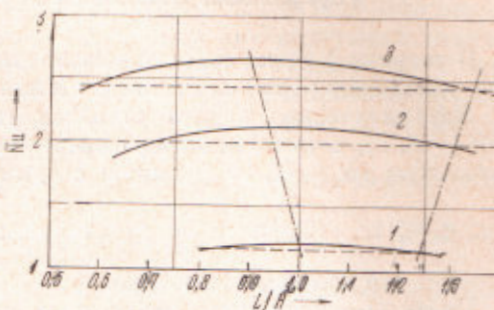


Рис. 4. Влияние длины волны конвективного движения на теплопередачу за порогом устойчивости. 1 — $Ra_m = 2090$; 2 — $Ra_m = 5225$; 3 — $Ra_m = 10450$